

NOM :

Prénom :

Examen de Traitement du Signal (TDS)

Classe : **3^{ème} année ESTACA**

18 Janvier 2006

Enseignants : **J.L. Dion – G. Hiet**

Durée de l'épreuve : **2h00**

Calculatrice ESTACA (TI 30 X) autorisée
Aucun document autorisé

Le barème est donné à titre indicatif

Notation :

- * : produit de convolution
- . : multiplication « scalaire »
- $\delta(t)$: impulsion de Dirac
- $\coprod_{T_e}(t)$: peigne de Dirac
- $\prod_{\tau}(t)$: signal « porte » d'amplitude 1 et de largeur τ

Pour chaque question répondre dans le cadre prévu et rendre le sujet à la fin de l'épreuve. Sauf mention contraire : **réponse juste et complète 1pt, incomplète ½ pt, fausse ou absence de réponse 0pt.**

Le barème total est sur **28pt**, il n'est donc pas nécessaire de répondre à toute les questions pour avoir 20.

Ne pas dégrafer le sujet

NOM :

Prénom :

Question de cours (QCM) : 5pt

Question 1 : Qu'est-ce qu'un modèle ARMA ?

- .
- .
- .
- .

Question 2 : Quelle est la condition de stabilité d'un filtre numérique ?

- .
- .

Question 3 : Quel est l'objectif commun des techniques d'analyse spectrale et d'analyse synchrone ? Dans quel cas utilisera-t-on l'une ou l'autre de ces deux techniques ?

- .
- .

Question 4 : Lors de l'analyse d'un signal issu d'une chaîne de mesure, quels sont les différents types d'erreurs qui peuvent perturber l'observation ? Quelles peuvent être les causes de ces différents types d'erreurs (donner un exemple pour chaque type d'erreur) ? De quel type d'erreur la technique de moyenne spectrale permet-elle de limiter les effets ?

- .
- .
- .
- .

NOM :

Prénom :

Question 2 (1pt): On considère maintenant un filtre numérique dont la réponse impulsionnelle $h[n]$ est définie par :

$$h[0] = 0 ; h[1] = 0,5 ; h[2] = 0,8 ; h[3] = 0,5 ; h[4] = 0,2 \text{ et } \forall n > 4, h[n] = 0$$

Quelle est la nature de ce filtre ? Est-il réalisable en temps réel ? Pourquoi ?

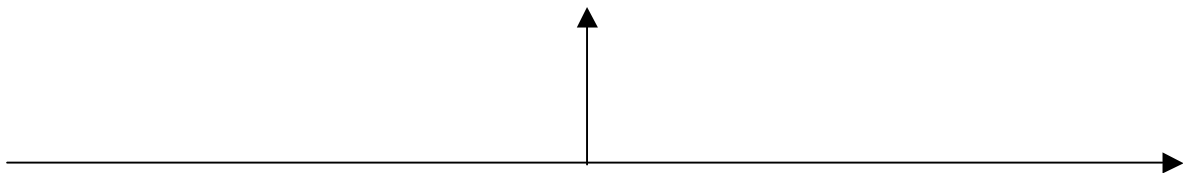
Question 3 (2pt): On applique le signal $x[n]$ de la question 1 à l'entrée du filtre. Déterminer les cinq premières valeurs de la sortie $y[n]$ du filtre.

n	0	1	2	3	4
y[n]					

Exercice 2 : 5pt

Soit le signal $x(t) = \cos(2\pi.f_1.t) + \sin(2\pi.f_2.t) + \cos(2\pi.f_3.t)$

Question 1 : Donner l'allure du spectre de $x(t)$ (en module)



Question 2 : On souhaite se débarrasser des deux raies hautes fréquences de ce signal. Pour cela, on envisage d'utiliser un filtre de Butterworth. Le cahier des charges est le suivant :

- atténuation de -3dB à la fréquence de coupure (f_c)
- largeur de la bande de transition : $B_t = 3.f_c$
- atténuation de -30dB en bande coupée

Tracer le gabarit correspondant à ce cahier des charges.



NOM :

Prénom :

Question 3 : On rappelle que les filtres de Butterworth d'ordre n sont caractérisés par la propriété suivante :

$$|H(j.\omega)|^2 = \frac{1}{1 + \left(\frac{\omega}{\omega_c}\right)^{2n}}$$

Trouver le plus petit ordre n tel que le gain du filtre de Butterworth d'ordre n s'inscrive dans le gabarit de la question 2.

.

.

.

.

.

.

n =

Question 4 : Déterminer f_c , la fréquence de coupure du filtre telle que la fréquence de la deuxième raie du spectre de $x(t)$ (la première des deux raies que l'on souhaite éliminer) se situe à la limite (basse fréquence) de la bande coupée du filtre.

.

.

. $f_c =$

Question 5 : A l'aide la table des polynômes de Butterworth donnée en annexe, déterminer la fonction de transfert $H(p)$ du filtre dans le cas où $f_1 = 2\text{Hz}$, $f_2 = 30\text{Hz}$ et $f_3 = 40\text{Hz}$.

.

.

. $H(p) =$

NOM :

Prénom :

Problème : TFD 13pt

Soit le signal $x(t) = \cos(2\pi.f_0.t)$. On échantillonne ce signal à l'aide d'un dispositif permettant de prélever N échantillons à une fréquence d'échantillonnage f_e . On note $x_{we}(t)$ le signal échantillonné en sortie du dispositif.

Question 1 : En négligeant l'influence des opérations de blocage et de quantification, donner l'expression mathématiques de $x_{we}(t)$ en fonction de $x(t)$.

On considère les transformées de Fourier des signaux x et x_{we} : $X = TF(x)$ et $X_{we} = TF(x_{we})$.

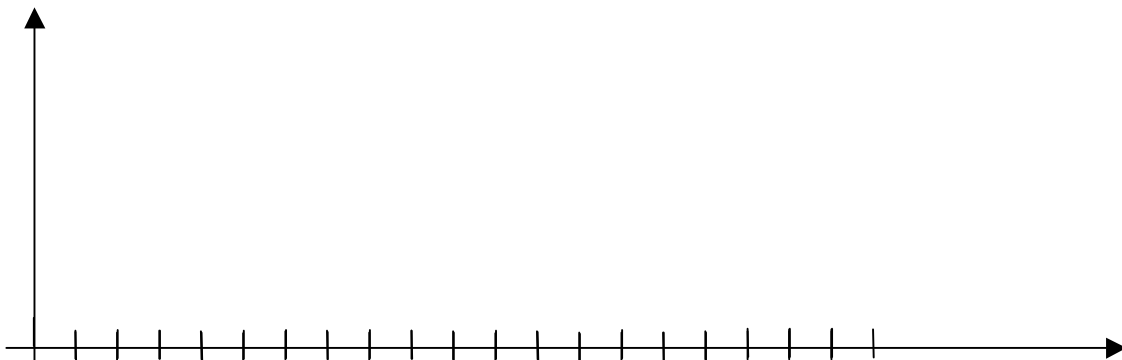
Question 2 : Exprimer $X_{we}(f)$ en fonction de $X(f)$.

Question 3 : Donner l'expression de $X(f)$. En déduire $X_{we}(f)$.

Question 4 : Application numérique

On donne : $f_e = 20\text{Hz}$, $N = 20$, $f_0 = 5\text{Hz}$

Tracer l'allure de $|X_{we}(f)|$.



NOM :

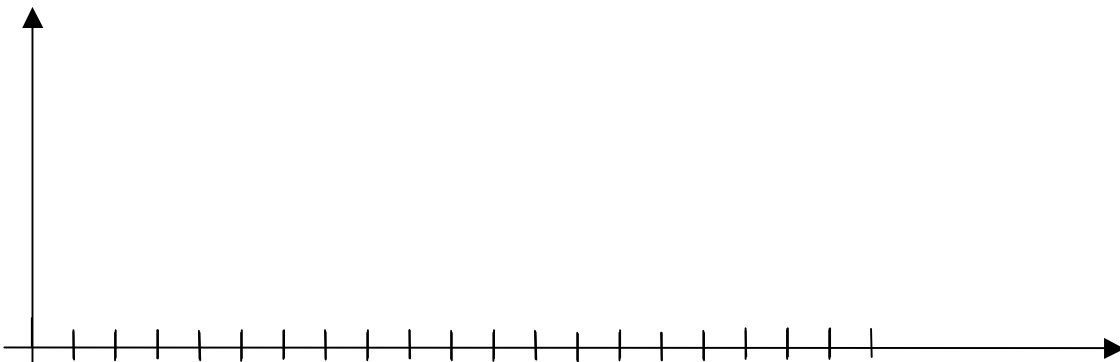
Prénom :

Question 5 : On décide de calculer numériquement le spectre du signal $x(t)$. Pour cela, on place un processeur de traitement de signal (DSP) en sortie du dispositif d'échantillonnage et on programme un algorithme de Transformée de Fourier Discrète. On obtient ainsi en sortie un signal numérique $X_N[k]$ qui correspond aux N échantillons de calcul de la TFD de $x_{we}(t)$.

Donner l'expression de $X_N[k]$ en fonction de $X_{we}(f)$. Placer les valeurs des échantillons $X_N[k]$ de la TFD sur le graphique de la question 4.

Question 6 : On considère maintenant le cas : $f_0 = 4,3Hz$

Reprendre les questions 4 et 5 pour ce nouveau signal. Les résultats de la TFD sont-ils satisfaisants ? Pourquoi ? Quelle condition doit être respectée pour l'analyse d'un spectre de raies par TFD si aucun traitement supplémentaire n'est appliqué au signal ?



Question 7 : On considère toujours le cas $f_0 = 4,3Hz$. On suppose que le dispositif d'acquisition est tel qu'il n'est pas possible d'acquérir plus de $N = 20$ échantillons et que la fréquence d'échantillonnage est fixée ($f_e = 20Hz$). On suppose par contre que le DSP dispose de suffisamment de ressource pour pouvoir traiter des tableaux (buffer) de 1024 échantillons.

Quelle technique peut-on utiliser pour augmenter la résolution du calcul de la TFD et obtenir ainsi un résultat satisfaisant? Expliquer brièvement le principe.

NOM :

Prénom :

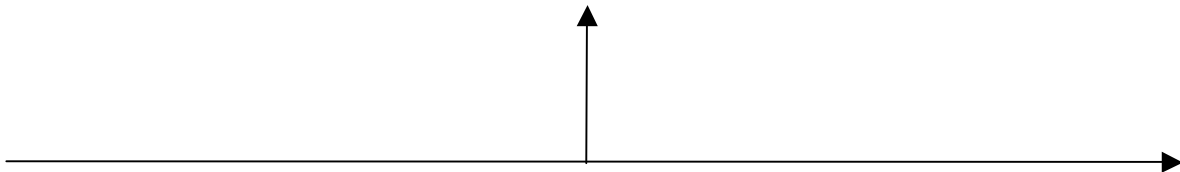
Question 8 : On considère maintenant le signal suivant :

$$y(t) = A \cos(2\pi f_1 t) + B \cos(2\pi f_2 t)$$

avec :

$$A = 1, B = 0,01$$
$$f_1 = 2\text{Hz}, f_2 = 7\text{Hz}$$

Donner l'expression de $Y(f) = TF[y(t)]$. Tracer l'allure du spectre de $y(t)$ (module uniquement).



Question 9 : On applique maintenant au signal $y(t)$ le traitement décrit dans les questions précédentes (échantillonnage, prélèvement de $N = 20$ échantillons, calcul de TFD avec la technique de la question 8).

On obtient les échantillons $Y_N[k]$ par calcul de TFD. Le module de ces échantillons est représenté sur la courbe de la figure 1 de l'annexe B (l'échelle des amplitudes est logarithmique).

Commenter l'allure de ce graphique en vous aidant des questions précédentes.

A quelle fréquence correspondent les échantillons $k=0$? $k=1023$? $k=102$?

Pourquoi ne peut-on discerner la raie correspondant à f_2 ?

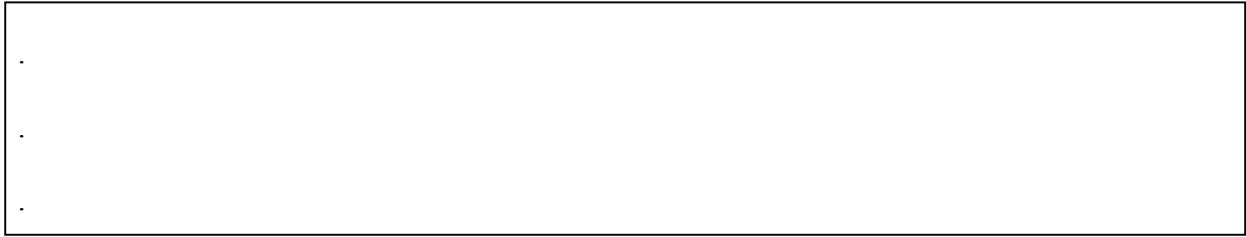
Question 10 : On décide de multiplier les échantillons issus du signal échantillonné par une fenêtre de Blackman avant calcul de la TFD.

Donner le principe d'une opération de fenêtrage. Quel est l'objectif recherché ici lors de l'utilisation de cette fenêtre de Blackman ?

NOM :

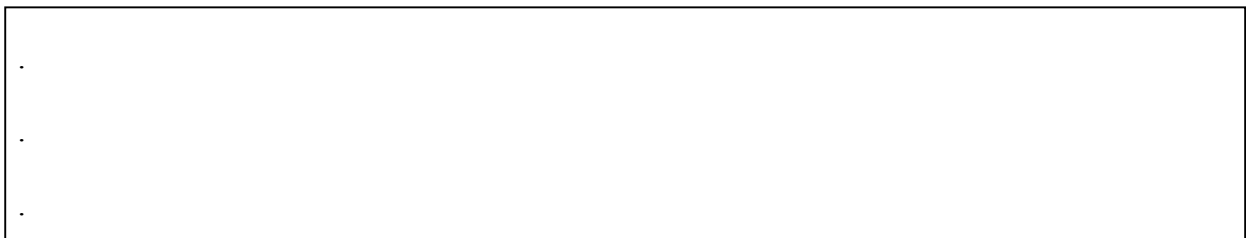
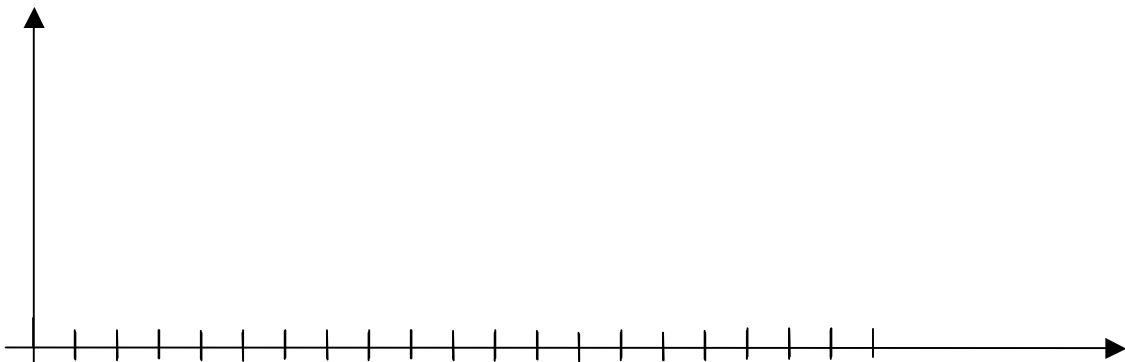
Prénom :

Question 11 : La figure 2 représente le module des échantillons $Y_N[k]$ issu du calcul de la TFD avec fenêtrage. Commenter l'allure du graphique en la comparant à celle du graphique de la figure 1. Quel est l'effet du fenêtrage ?



Question 12 : On considère maintenant le signal $y(t)$ de la question 8 avec $f_2 = 12\text{Hz}$ et $B=1$. On échantillonne ce signal à travers le même dispositif ($N = 20$ échantillons, $f_e = 20\text{Hz}$) sans l'opération de fenêtrage.

En vous inspirant des questions précédentes, donner l'allure du spectre du signal échantillonné $y(t)$. En observant ce graphique, quelle erreur d'interprétation est-on amené à commettre sur la caractérisation du spectre du signal d'entrée $y(t)$? Pourra-t-on reconstituer correctement le signal $y(t)$ à partir des échantillons numériques ? Quel phénomène est la cause de ce problème ?



Question 13 : Dans quel dispositif faudrait-il faire passer le signal $y(t)$ pour éviter le phénomène de la question 12. Donner brièvement les caractéristiques de ce dispositif. Quelle serait alors la conséquence sur le spectre du signal échantillonné ? Donner l'expression du signal que l'on pourrait reconstituer à partir des échantillons numériques.



NOM :

Prénom :

Annexe A : Tableau des polynômes de Butterworth

Un filtre de Butterworth est défini par une fonction de transfert de la forme :

$$h(s) = \frac{1}{P(s)} \text{ avec } s = j \cdot \frac{\omega}{\omega_c} \text{ et } \omega_c \text{ pulsation de coupure}$$

P(s) est le polynôme de Butterworth donné par la table suivante en fonction de l'ordre n du filtre :

n	$P(s)$
1	$(1 + s)$
2	$(1 + 1.414 \cdot s + s^2)$
3	$(1 + s) \cdot (1 + 1.000 \cdot s + s^2)$
4	$(1 + 1.848 \cdot s + s^2) \cdot (1 + 0.765 \cdot s + s^2)$
5	$(1 + s) \cdot (1 + 1.618 \cdot s + s^2) \cdot (1 + 0.618 \cdot s + s^2)$
6	$(1 + 1.932 \cdot s + s^2) \cdot (1 + 1.414 \cdot s + s^2) \cdot (1 + 0.518 \cdot s + s^2)$
7	$(1 + s) \cdot (1 + 1.802 \cdot s + s^2) \cdot (1 + 1.217 \cdot s + s^2) \cdot (1 + 0.445 \cdot s + s^2)$
8	$(1 + 1.962 \cdot s + s^2) \cdot (1 + 1.663 \cdot s + s^2) \cdot (1 + 1.111 \cdot s + s^2) \cdot (1 + 0.390 \cdot s + s^2)$
9	$(1 + s) \cdot (1 + 1.879 \cdot s + s^2) \cdot (1 + 1.532 \cdot s + s^2) \cdot (1 + 1.000 \cdot s + s^2) \cdot (1 + 0.347 \cdot s + s^2)$
10	$(1 + 1.975 \cdot s + s^2) \cdot (1 + 1.782 \cdot s + s^2) \cdot (1 + 1.414 \cdot s + s^2) \cdot (1 + 0.908 \cdot s + s^2) \cdot (1 + 0.313 \cdot s + s^2)$

Annexe B : Calcul de TFD

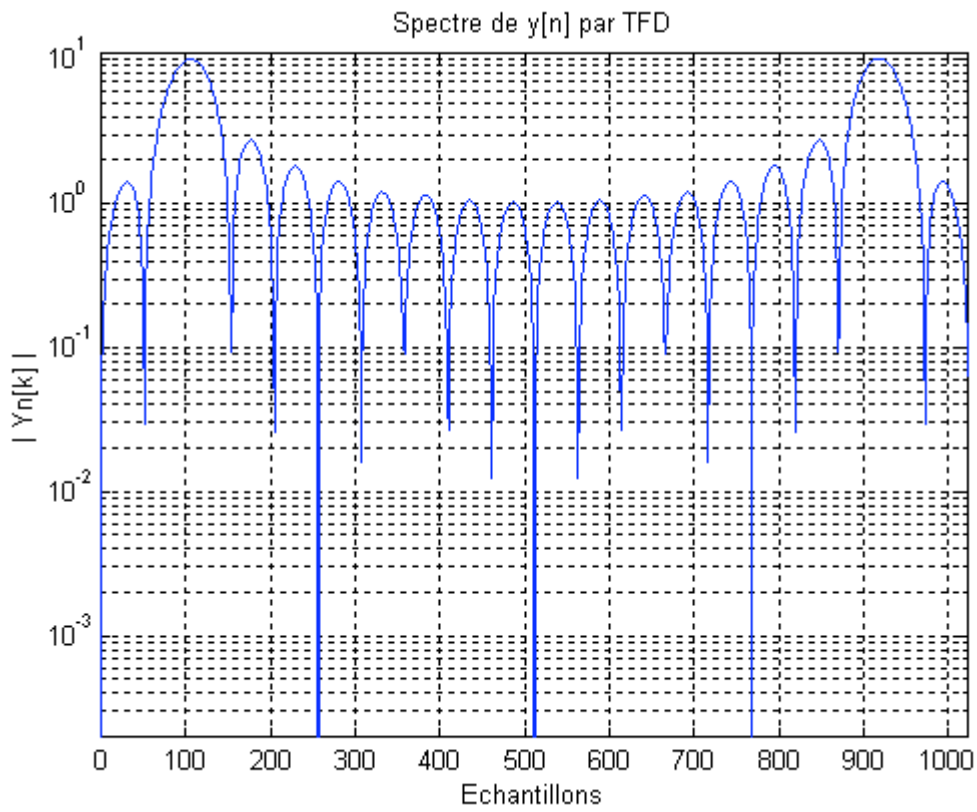


Figure 1

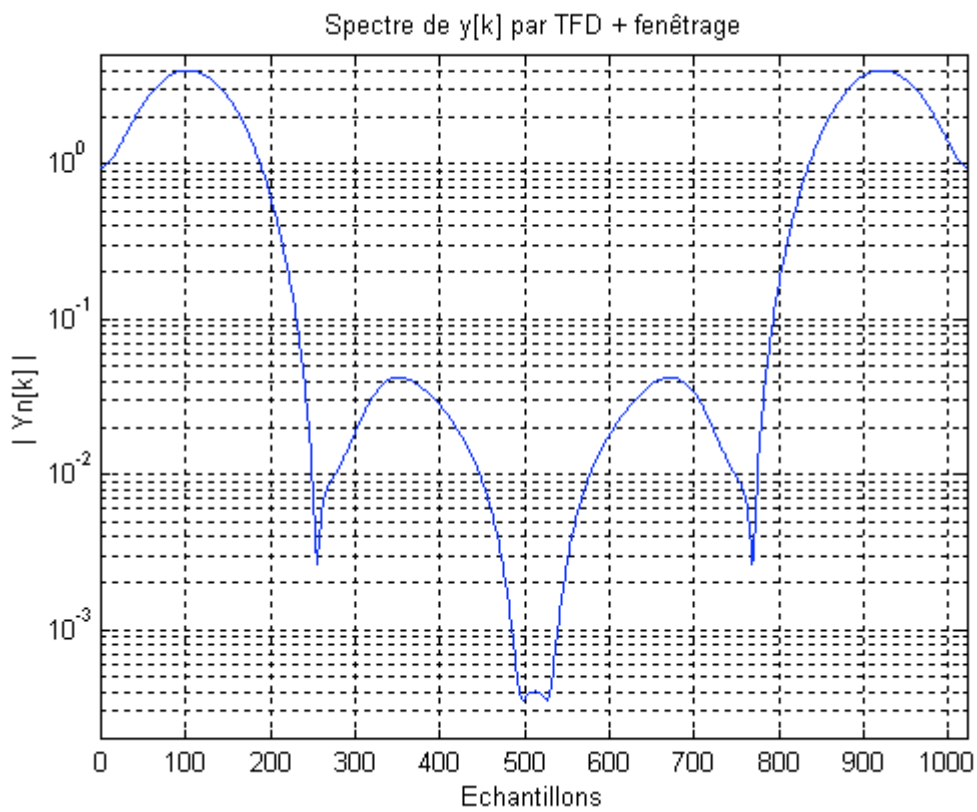


Figure 2

NOM :

Prénom :

Annexe B : Formulaire

I Transformée de Fourier

Définition :

$$X(f) = TF[x(t)] = \int_{-\infty}^{\infty} x(t).e^{-2\pi j.f.t} dt \quad \text{et} \quad x(t) = TF^{-1}[X(f)] = \int_{-\infty}^{\infty} X(f).e^{2\pi j.f.t} df$$

Propriétés :

Linéarité : $\alpha.x(t) + \beta.y(t) \stackrel{TF}{\Leftrightarrow} \alpha.X(f) + \beta.Y(f)$

Translation : $x(t - \tau) \stackrel{TF}{\Leftrightarrow} e^{-2\pi.j.f.\tau} .X(f)$

Dérivation : $\frac{dx(t)}{dt} \stackrel{TF}{\Leftrightarrow} 2\pi.j.f.X(f)$

Intégration : $\int x(t).dt \stackrel{TF}{\Leftrightarrow} \frac{1}{2\pi.j.f} .X(f)$

Dilatation : $x(\lambda.t) \stackrel{TF}{\Leftrightarrow} |\lambda|^{-1} .X\left(\frac{f}{\lambda}\right)$

Conjugaison complexe : $\overline{x(t)} \stackrel{TF}{\Leftrightarrow} \overline{X(-f)}$

Signaux réels : $X(f) = \overline{X(-f)}$

II Echantillonnage et TFD:

Echantillonnage sur une durée finie (période d'échantillonnage T_e , durée τ) :

$$x_{we}(t) = x(t) \cdot \prod_{T_e}(t) \cdot \prod_{\tau}\left(t - \frac{\tau}{2}\right)$$

Calcul de la TFD : $X_N[k] = \sum_{n=0}^{N-1} x[n].e^{-j.2.\pi.\frac{k.n}{N}}$

On démontre que : $X_N[k] = X_{we}\left(k.\frac{f_e}{N}\right)$ avec $f_e = \frac{1}{T_e}$ et $X_{we}(f) = TF[x_{we}(t)]$

NOM :

Prénom :

III Transformée en z :

Définition :

$$X(z) = TZ(x[k]) = \sum_{n=-\infty}^{+\infty} x[n].z^{-n} \quad \text{pour } r_1 < |z| < r_2$$

Transformation inverse :

$$x[k] = \frac{1}{2.j.\pi} \oint_C X(z).z^{k-1} dz$$

Théorème des résidus :

$$x[k] = \sum_i \text{Res}(X(z).z^{k-1}; p_i) \quad \text{avec } p_i, \text{ pôle de } X(z) \text{ à l'intérieur de } C$$

Propriétés :

Linéarité : $\alpha.x[k] + \beta.y[k] \xrightarrow{TZ} \alpha.X(z) + \beta.Y(z)$

Translation : $x[k - k_0] \xrightarrow{TZ} z^{-k_0}.X(z)$

Différentiation : $k^p .x[k] \xrightarrow{TZ} \left(-z \frac{d}{dz}\right)^p X(z)$

Conjugaison complexe : $\overline{x[k]} \xrightarrow{TZ} \overline{X(z)}$

Valeur initiale : $x[0] = \lim_{z \rightarrow +\infty} X(z)$

Convolution : $(x * y)[k] \xrightarrow{TZ} A(z).B(z)$